

01;05

Полевая зависимость моды Гилинского спектра доменной границы в одноосном ферромагнетике

© Г.Е. Ходенков

Совместная хозрасчетная лаборатория "Магнитооптоэлектроника" Института общей физики РАН при Мордовском государственном университете им. Н.П. Огарева, Россия
e-mail: angelina@mtu-net.ru

(Поступило в Редакцию 7 августа 2000 г.)

Определены полевые зависимости трансляционной моды и моды Гилинского спектра доменной границы, помещенной во внешнее магнитное поле, которое ориентировано в плоскости блоховской доменной границы перпендикулярно оси анизотропии. Вычислена диаграмма устойчивости полярности доменной границы в магнитном поле и проанализировано поведение мод вблизи точки переориентации ее полярности.

Введение

В настоящее время магнитные материалы рассматриваются как среды для построения нового типа устройств обработки микроволновых и оптических информационных сигналов [1,2]. Особый интерес с указанной точки зрения представляют ферромагнетики, содержащие доменные границы (ДГ). Помимо того, что сама ДГ может являться двумерным волноводным каналом (предложение было сформулировано авторами [1] в 1976 г.), спектр ДГ содержит целый ряд локализованных на ее поверхности нормальных мод, технологическое использование которых способствовало бы расширению возможностей и миниатюризации упомянутого типа устройств.

В этой связи необходимо отметить, что даже спектр простейшей ДГ (180° ДГ в одноосном ферромагнетике) в присутствии поверхностных мод под действием магнито-статических взаимодействий претерпевает коренную перестройку. Единственная исходная локализованная мода одномерного приближения, мода сдвига ДГ (или трансляционная мода), становится невзаимной; появляется новая невзаимная мода оптического типа, мода Гилинского, [3]; от дна зоны объемных спиновых волн, как было обнаружено численными методами в [4], при некоторых значениях волнового вектора \mathbf{k} , лежащих в плоскости ДГ, могут отщепляться дополнительные локализованные на ДГ нормальные моды. Учет дополнительных составляющих анизотропии, проведенный численными методами [5,6], обнаруживает дальнейшее усложнение картины: аномальное поведение дисперсии, пересечение уровней и др. С экспериментальной точки зрения относительно хорошо изучена только трансляционная мода, тогда как указания на существование моды Гилинского были получены сравнительно недавно [6].

Важное значение имеет исследование влияния внешнего магнитного поля на указанные выше специфические моды спектра ДГ. Это поле, меняя дисперсионные характеристики ДГ, может, с одной стороны, служить средством экспериментальной идентификации различных ветвей спектра, а с другой — параметром управления обработкой информационных сигналов.

Необходимо отметить также, что сама ДГ при определенных критических значениях поля испытывает внутренние структурные переходы (типа изменения полярности, переходов блоховская–неелевская ДГ и т.д.), вблизи которых влияние поля на дисперсионные характеристики может быть особенно велико. Этот вопрос достаточно хорошо изучен для нижней трансляционной моды ДГ в сильноанизотропных ферромагнетиках (см., например, [7–9]). Что касается более высоко расположенной моды Гилинского, указания на существование которой были получены сравнительно недавно [6], то для нее, насколько известно, подобные результаты отсутствуют. Цель настоящего исследования — восполнить этот пробел, ограничившись преимущественно случаем одноосного сильноанизотропного ферромагнетика и ориентацией внешнего поля вдоль или против полярности ДГ.

Общие уравнения, переориентация полярности ДГ

Рассмотрим одноосный ферромагнетик (легкая ось которого коллинеарна с осью z выбранной системы координат) с плотностью энергии

$$w = A(\nabla\mathbf{M})^2/M^2 - KM_z^2/M^2 - \mathbf{H}\mathbf{M} - \frac{1}{2}\nabla\chi\mathbf{M}, \quad (1)$$

где $\mathbf{M}(\mathbf{r}, t)$ — намагниченность, модуль которой сохраняется; $A > 0$ и $K > 0$ — константы обменной жесткости и одноосной анизотропии; \mathbf{H} — внешнее магнитное поле; χ — магнито-статический потенциал; используются обычные уравнения движения: $\partial\mathbf{M}/\partial t = \gamma[\mathbf{H}^{\text{eff}} \times \mathbf{M}]$ (здесь $\gamma > 0$ — магнитомеханическое отношение, $\mathbf{H}^{\text{eff}} = -\delta w/\delta\mathbf{M}$ — эффективное внутреннее поле) и уравнение Максвелла $\text{div}(-\nabla\chi + 4\pi\mathbf{M}) = 0$.

Если ДГ расположена в плоскости xOz , а внешнее магнитное поле направлено по оси x , то структура основного состояния описывается углом $\varphi = \varphi(y)$, отсчитываемым

от оси z ,

$$\begin{aligned} \varphi'(y) &= \sin \varphi - H, \\ \cos \varphi &= -\sqrt{1 - H^2} \frac{\operatorname{sh}(y\sqrt{1 - H^2})}{H + \operatorname{ch}(y\sqrt{1 - H^2})}, \end{aligned} \quad (2)$$

где расстояния вдоль координаты y (нормаль к плоскости ДГ), как и в последующем вдоль координаты x , измеряются в единицах ширины ДГ $\Delta = \sqrt{A/K}$, внешнее магнитное поле H — в единицах поля эффективной анизотропии $H_a = 2K/M$.

Выражение (2) относится только к случаю $|H| \leq 1$, случай $H < 0$ и $|H| > 1$, когда ДГ имеет 360° -ную структуру, не затрагиваются существенно в настоящей работе. Под полярностью ДГ ниже понимается направление (знак) компоненты намагниченности $M_x(y)$ в центре границы $y = 0$, где $\varphi(0) = \pm\pi/2$.

Ограничимся, как и в фундаментальной работе [3], рассмотрением малых колебаний намагниченности вида $\sim \exp(-i\omega t + ikx)f(y)$, распространяющихся вдоль оси x (перпендикулярно оси легкого намагничивания). В локальной относительно основного стояния (2) системе координат для составляющих вектора намагниченности уравнения малых колебаний имеют вид, совершенно аналогичный [3],

$$-i\omega m_\perp = (k^2 + \hat{L}_\parallel) m_\parallel + \frac{ik}{Q} \chi \cos \varphi, \quad (3.1)$$

$$-i\omega m_\parallel = -(k^2 + \hat{L}_\perp) m_\perp - \frac{\chi'}{Q}, \quad (3.2)$$

$$\chi'' - k^2 \chi = m'_\perp + ik \cos \varphi m_\parallel, \quad (3.3)$$

где исходные одномерные операторы

$$\hat{L}_\parallel = -\frac{d^2}{dy^2} + \cos 2\varphi + H \sin \varphi, \quad (4.1)$$

$$\hat{L}_\perp = \hat{L}_\parallel + 2H(\sin \varphi - H) + H^2, \quad (4.2)$$

как и сама система (3), зависят только от координаты y через (2). Зависимые переменные системы (3): $m_\perp(y)$ и $m_\parallel(y)$ — малые безразмерные амплитуды намагниченности, направленные соответственно перпендикулярно и параллельно плоскости ДГ xOz ; $Q = H_a/4\pi M$ — фактор качества; частота ω измеряется в единицах γH_a ; k — волновой вектор вдоль оси x (измеряется в единицах $1/\Delta$).

Система (3), (4) отличается от соответствующих уравнений в [3] только учетом продольного магнитного поля H , направленного вдоль оси x (по или против полярности ДГ). Это отличие, однако, весьма существенно в нескольких отношениях. Во-первых, теперь коммутатор $[\hat{L}_\perp, \hat{L}_\parallel]$ отличен от нуля, тогда как в [3] операторы совпадали, поэтому выбор базисного набора функций для построения аналитического решения, что использовалось в [3], становится затруднительным. Во-вторых, если в [3] оба оператора были неотрицательными и имели нулевые собственные значения в качестве основных уровней, то теперь этим свойством, как можно проверить, обладает

только оператор $\hat{L}_\parallel \varphi'(y) = 0$ (см. (2)). И наконец, в рассматриваемом случае оператор \hat{L}_\perp (см. (4.2)) может в определенной области полей иметь отрицательные собственные значения.

Последнее утверждение требует обоснования, покажем его справедливость в пределе слабых полей. Структура оператора \hat{L}_\perp (см. (4.2)) и соотношение $\hat{L}_\parallel \varphi'(y) = 0$ показывают, что отличный от нуля вклад в собственное значение в первом приближении вносит лишь величина $2H \sin \varphi$. Первый порядок теории возмущений

$$E(H) = \frac{\langle \varphi'(y) | 2H \sin \varphi | \varphi'(y) \rangle}{\langle \varphi'(y) | \varphi'(y) \rangle} \approx \frac{\pi H}{2} \quad (5)$$

показывает, что при $H < 0$ собственное значение становится отрицательным. В случае сильных полей ДГ имеет 360° -ную структуру, внешнее поле всегда направлено против полярности и, как можно показать (см. результаты [10]), нижнее собственное значение \hat{L}_\perp отрицательно — $E(H) = -3|H|$.

Заключение об отрицательности оператора \hat{L}_\perp имеет принципиальное значение, так как оно указывает на возможность неустойчивости исходной структуры ДГ (2), когда внешнее поле направлено против ее полярности. Действительно, ограничившись ради простоты одномерным приближением, когда, согласно (3.3), $\chi' = m_\perp$, можно записать уравнение баланса энергии в виде

$$\frac{d}{dt} \int_{-\infty}^{\infty} dy \left[m_\parallel \hat{L}_\parallel m_\parallel + m_\perp \left(\hat{L}_\perp + \frac{1}{Q} \right) m_\perp \right] < 0 \quad (6)$$

(строгое неравенство следует, если учесть наличие диссипации в системе). Отрицательность приведенной величины в рамках линейной теории означает неограниченный рост малых возмущений со временем. Магнитостатическое взаимодействие $\sim 1/Q$ стабилизирует систему, однако можно указать такое критическое значение поля $H = H_c(Q)$, начиная с которого система теряет устойчивость и происходит переориентация полярности ДГ.

Зависимость $H_c(Q)$ определяется из условия существования локализованных на ДГ решений уравнения

$$(\hat{L}_\perp + 1/Q) m_\perp = 0. \quad (7)$$

Для одноосных ферромагнетиков с $Q \gg 1$ во втором порядке теории возмущений можно получить

$$\begin{aligned} \left| \frac{H_c}{4\pi M} \right| &= \frac{2}{\pi} - \left(\frac{2}{\pi} \right)^2 \frac{1}{Q} \\ &\times \left[\frac{2}{5\pi} + \frac{1}{8\pi} \left(\frac{32}{5\pi} + \frac{4}{\pi} + \pi - \frac{14}{\pi} \zeta(3) \right) \right], \end{aligned} \quad (8)$$

где $\zeta(3) = 1.202 \dots$ — дзета-функция Римана, значение коэффициента при $1/Q$ равно 0.069.

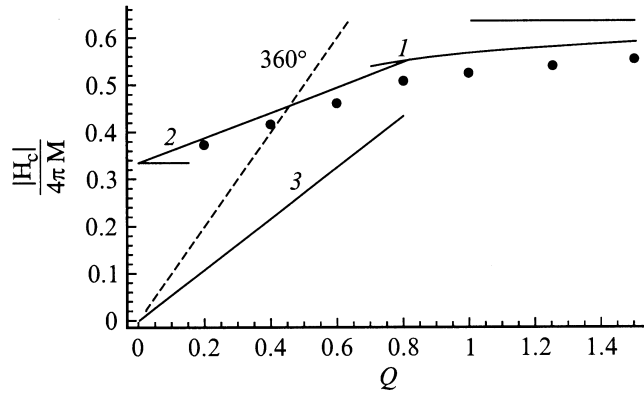


Диаграмма устойчивости полярности ДГ в продольном магнитном поле (верхние границы по полю). Точки — расчетные значения критического поля (одномерная теория); 1 — второй порядок теории возмущений для $Q > 1$; 2 — то же для $Q < 1$; 3 — вариационная оценка [10] (неодномерная теория, $Q < 1$). Горизонтальные отрезки: $1/3$ слева и $2/\pi$ — асимптотические значения полей перестройки полярности ДГ в пределах $Q \ll 1$ и $Q \gg 1$ соответственно (одномерное приближение). Выше штриховой прямой ДГ становится 360° .

Первый вклад в правой части хорошо известен ([7–9]), следующий — вычисленная поправка от второго порядка теории возмущений. Аналогично для ферромагнетиков с $Q \ll 1$ находим

$$\left| \frac{H_c}{4\pi M} \right| = \frac{1}{3} + \frac{4}{15}Q. \quad (9)$$

Здесь первый вклад в правой части был определен в [10], хотя согласно результатам той же работы, он является сильно завышенным. На основе двумерных уравнений (3) в статическом варианте авторы [10] приводят вариационную оценку $|H_c/4\pi M| = 0.543Q$ полностью обращая в нуль магнитостатический вклад. На приведенном здесь рисунке представлены результаты численных расчетов критического поля на основании решения уравнения (7) вместе с приведенными выше оценками. Отметим, что расхождение между результатами точных вычислений (точки) и второго порядка теории возмущений (кривая 1) быстро сокращается с ростом Q .

Редукция основных уравнений

Для решения задачи в области малых k , представляющих основной интерес, воспользуемся подходом, предложенным в [11], который дает неплохие результаты при сравнении с точными аналитическими результатами [3]. Подход основан на квантово-механической теории мелкого уровня и широко применявшемся в теории металлов методе модельных псевдопотенциалов (см., например, [12]). Применимость теории мелкого уровня к системе (3) станет очевидной, если записать ее характеристические корни p при $|y| \rightarrow \infty$, где все

решения пропорциональны $\exp(-|py|)$,

$$p_{1,2}(\omega) = \left[1 + k^2 + \frac{1}{2} \left(\frac{1}{Q} - H^2 \right) \pm \sqrt{\frac{1}{4} \left(\frac{1}{Q} + H^2 \right)^2 + k^2 \frac{H^2}{Q} + \omega^2} \right]^{1/2}, \quad p_3 = |k| \quad (10)$$

(из 6 корней выписаны 3 положительные, остальные 3 имеют противоположные знаки). Из (10) следует, что при малых k асимптотика решений определяется третьим корнем и конкретные зависимости коэффициентов системы (3) от пространственной координаты y в значительной мере становятся несущественными. Последнее позволяет выбрать потенциалы, входящие в операторы $\hat{L}_{\perp, \parallel}$ в простейшем виде, например в виде δ -функций Дирака. Вид потенциалов и коэффициентов в (3) выбирается таким образом, чтобы наряду с сохранением характеристических корней (10) сохранялись собственные значения операторов (4.1) и (4.2).

С учетом изложенного проведем в системе (3) следующие замены:

$$\hat{L}_{\parallel} \rightarrow \hat{L}_{\parallel}^* = -\frac{d^2}{dy^2} + 1 - H^2 - 2\sqrt{1 - H^2}\delta(y), \quad (11.1)$$

$$\hat{L}_{\perp} \rightarrow \hat{L}_{\perp}^* = -\frac{d^2}{dy^2} + 1 - 2\sqrt{1 - E(H)}\delta(y), \quad (11.2)$$

$$\cos \varphi \rightarrow -\text{sing}(y)\sqrt{1 - H^2}, \quad (11.3)$$

где $\text{sing}(y)$ — знаковая функция и $E(H)$ — нижнее собственное значение точного оператора \hat{L}_{\perp} (см. (5)).

Эти замены резко упрощают исходную систему (3), сводя ее к системе уравнений с постоянными коэффициентами со следующими граничными условиями, определяемыми δ -потенциалами (11):

$$\begin{aligned} \chi(0+) &= \chi(0-), & \chi'(0+) &= \chi'(0-); \\ m_{\parallel, \perp}(0+) &= m_{\parallel, \perp}(0-), \\ -m'_{\parallel, \perp}(0+) + m'_{\parallel, \perp}(0-) &= 2 \left(\sqrt{1 - H^2}, \sqrt{1 - E(H)} \right). \end{aligned} \quad (12)$$

Компоненты намагниченности и магнитостатический потенциал вместе со своей первой производной по y в центре ДГ $y = 0$ непрерывны (следовательно, как и должно быть, непрерывна и нормальная составляющая магнитной индукции), тогда как производные намагниченности испытывают скачки.

Модифицированный оператор \hat{L}_{\parallel}^* сохраняет нижнее собственное значение $E = 0$ и асимптотику собственной функции $\varphi'(y) \sim \exp(-|y|\sqrt{1 - H^2})$ точного \hat{L}_{\parallel} . То же справедливо и относительно операторов \hat{L}_{\perp}^* и \hat{L}_{\perp} , если учесть собственное значение (5).

Строго говоря, использование δ -потенциалов недостаточно для полного описания системы локализованных

уровней ДГ в одномерном пределе. В [8] было показано, что даже в пределе $H \ll 1$ в системе возникает дополнительный уровень, отвечающий колебаниям эффективной ширины ДГ. Однако этот уровень, расположенный очень близко ко дну зоны объемных спиновых волн, существует, только если направления внешнего поля и полярности ДГ совпадают. В настоящем изложении указанный уровень не учитывается, так как основной интерес здесь представляют более низко расположенные моды и магнитные поля, направленные против полярности ДГ, т. е. поля, вызывающие переориентацию.

Результаты и обсуждение

Убывающие при $|y| \rightarrow \infty$ решения модифицированной системы (3) с постоянными коэффициентами и граничными условиями (12) выражаются через набор экспонент с показателями (10)

$$(m_{\perp}, m_{\parallel}, \chi) = \sum_{j=1}^3 C_j^{\pm} \exp(-p_j |y|) (1, is(p_j), \text{sign}(y)r(p_j)), \quad (13)$$

где C_j^{\pm} — шесть неизвестных постоянных (различных в отрицательной и положительной областях оси y) по числу граничных условий (12).

Однако, как и в [11], можно показать, что для определения локализованных уровней достаточно взять только симметричные комбинации экспонент, т. е. $C_j^+ = C_j^- = C_j$ ($j = 1, 2, 3$), и только три граничных условия из (12): для скачков производных $m_{\parallel, \perp}$ и непрерывности потенциала χ (остальные, антисимметричные, комбинации относятся к непрерывному спектру). Таким образом, получаем алгебраическое уравнение

$$\begin{vmatrix} r(p_1) & r(p_2) & r(p_3) \\ p_1 - \sqrt{1 - \pi H/2} & p_2 - \sqrt{1 - \pi H/2} & p_3 - \sqrt{1 - \pi H/2} \\ (p_1 - \sqrt{1 - H^2})s(p_1) & (p_2 - \sqrt{1 - H^2})s(p_2) & (p_3 - \sqrt{1 - H^2})s(p_3) \end{vmatrix} \times \begin{pmatrix} C_1 \\ C_2 \\ C_3 \end{pmatrix} = 0, \quad (14)$$

в котором

$$r(p_j) = - \left[(k^2 - p_j^2 + 1 - H^2) p_j + \omega k_x \sqrt{1 - H^2} \right] / D(p_j), \quad (15.1)$$

$$s(p_j) = - \left[\omega (p_j^2 - k^2) + \frac{1}{Q} p_j k_x \sqrt{1 - H^2} \right] / D(p_j), \quad (15.2)$$

$$D(p_j) = (p_j^2 - k^2) (1 - H^2 - p_j^2 + k^2) - \frac{k^2}{Q} (1 - H^2). \quad (15.3)$$

Дисперсионное уравнение, определяющее зависимость $\omega(k)$, получается приравниванием нулю определителя матрицы 3×3 , входящей в (14).

Решение возникающего уравнения при $k \rightarrow 0$ зависит от того, какое значение принимает ω в этом пределе. Трансляционной (сдвиговой) моде ДГ отвечает предел $\omega \rightarrow 0, k \rightarrow 0$

$$\omega_{tr} = \frac{k}{\sqrt{Q}} + |k| \sqrt{1 + \frac{1}{Q} \sqrt{\frac{1}{Q} - \frac{\pi H}{2}}}. \quad (16)$$

Этот результат при $H = 0$ совпадает с точным [3], а при $H \neq 0$ и $Q > 1$ — с результатом теории Слончевского [7]. Переориентация полярности происходит в поле $H_c = 2\pi/Q$ ($H_c = 8M$). Учет следующих порядков по k [9] показывает, однако, что переход происходит неоднородно с некоторым малым $k_0 \sim 1/Q$ ($Q \gg 1$). В случае $Q \ll 1$ использованного здесь разложения по малому полю недостаточно для описания перехода, однако (16) правильно описывает влияние слабого поля $H \ll 1$ на спектр.

Другой предел $k \rightarrow 0, \omega \rightarrow \text{const}$ определяет моду Гилинского с учетом действия внешнего магнитного поля. При разложении определителя дисперсионного уравнения (определителя матрицы в (14)) ведущим является член

$$r(p_3) = Q \left(1 + \omega \text{sign}(k) / \sqrt{1 - H^2} \right) / |k|,$$

который расходитя при $k \rightarrow 0$. С учетом этого обстоятельства во всех остальных членах, которые конечны в этом пределе, можно положить $k = 0, \omega = \omega_0 = \sqrt{1 - H^2}$ и получить для моды Гилинского решение в двух пределах:

$$\frac{\omega_G}{\omega_0} = \vartheta(-k) \begin{cases} 1 + \frac{|k|}{Q} \left(2 + \frac{3Q}{2} - \frac{\pi Q H}{4} \right) & Q \ll 1, \\ 1 + \frac{|k|}{Q} \left(2\sqrt{Q} + 1 + \frac{3}{4\sqrt{2Q}} - \frac{3}{8\sqrt{2Q}} - \frac{\pi H}{8} \right) & Q \gg 1, \end{cases} \quad (17)$$

где $\vartheta(-k)$ — ступенчатая функция Хэвисайда, отличная от нуля при $k < 0$.

Магнитное поле H смещает предельное значение $\omega_G(k \rightarrow 0)$ вниз и в зависимости от знака приводит к увеличению или уменьшению групповой скорости волны. При $Q \gg 1$ в точке изменения полярности ДГ $H_c = 2\pi/Q$ ($H_c = 8M$) групповая скорость меняется скачком на $\pm \pi H_c / (4Q)$.

В настоящей работе определена (см. рисунок) диаграмма устойчивости полярности ДГ в магнитном поле, ориентированном противоположно ее полярности. Подход к решению спектральных задач динамики ДГ, предложенный в [11], позволяет сравнительно просто определять дисперсионные характеристики ДГ в наиболее трудной для численных методов области волновых векторов $k \ll 1$, а также в области переориентации полярности. Полевые зависимости трансляционной моды и моды Гилинского спектра ДГ представлены формулами (16) и (17) соответственно и могут быть полезны для экспериментальной идентификации этих мод.

Список литературы

- [1] *Zvezdin A.K., Kotov V.A.* // Modern Magneto-optics and Magneto-optical Materials. Bristol: Institute of Physics Publishing, 1997. 220 p. *Звездин А.К., Котов В.А.* // Магнитооптика тонких пленок. М.: Наука, 1988. 190 с.
- [2] *Marcelli R., Nikitov S. (editors)* // Nonlinear Microwave Processing: Towards a New Range of Devices. Dordrecht: Kluwer Ac. Publisher, 1996. 509 p.
- [3] *Гилинский И.А.* // ЖЭТФ. 1975. Т. 68. Вып. 3. С. 1032–1045.
- [4] *Михайлов А.В., Шимохин И.А.* // ЖЭТФ. 1990. Т. 97. Вып. 6. С. 1966–1973.
- [5] *Алексеев А.М., Попков А.Ф., Попов А.И.* // Изв. вузов. Электроника. 1998. № 1. С. 13–18.
- [6] *Алексеев А.М., Детч Х. Кулагин Н.Е.* и др. // ЖТФ. 1999. Т. 69. Вып. 6. С. 55–62.
- [7] *Малоземов А., Слонзуски Дж.* // Доменные стенки в материалах с ЦМД. М.: Мир, 1982. 382 с.
- [8] *Ходенков Г.Е.* // Физ. мет. и металловед. 1986. Т. 61. Вып. 5. С. 850–858.
- [9] *Димашко Ю.А., Шатский П.П., Яблонский Д.А.* // ФТТ. 1988. Т. 30. Вып. 10. С. 3084–3090.
- [10] *Hornreich R.M., Thomas H.* // Phys. Rev. B. 1978. Vol. 17. N 3. P. 1406–1413.
- [11] *Ходенков Г.Е.* // Физ. мет. и металловед. 1993. Т. 75. Вып. 5. С. 5–11.
- [12] *Харрисон У.* // Теория твердого тела. М.: Мир, 1972. 616 с.